

中等技术学校教材

249491

鋼 结 构

北京水力发电学校編

9
141

水利电力出版社

內容提要

本書為水利電力部系統之中等技術學校的教材，書中詳細地闡述了鋼結構按極限狀態的計算原理，鋼結構的連接方法，梁、柱、平面鋼閘門的設計計算等問題。

本書除可作中等技術學校的教材外，還可供省、專區、縣具有初中文化水平的水利技術人員在工作和學習中參考。

中等技術學校教材

鋼結構

北京水力發電學校編

*

2076 S 620

水利電力出版社出版（北京西郊科學路二里溝）

北京市書刊出版業營業許可證出字第105號

水利電力出版社印刷廠排印 新華書店發行

*

850×1168毫米開本 * 4₁₆印張 * 108千字

1959年7月北京第1版

1959年7月北京第1次印刷(0001—2,630冊)

統一書號：15143·1654 定價(第9類)0.53元

目 录

| | |
|-----------------------------|-----|
| 第一章 鋼結構按極限狀態的計算原理 | 2 |
| §1-1 結構按極限狀態計算的基本概念 | 2 |
| §1-2 荷重的種類及超荷系數 | 2 |
| §1-3 荷重的組合及組合系數 | 3 |
| §1-4 按極限狀態計算方法與按允許應力計算方法的比較 | 4 |
| 第二章 鋼結構的連接方法 | 6 |
| §2-1 焊接 | 7 |
| §2-2 鋼釘連接 | 17 |
| §2-3 螺栓連接 | 26 |
| 第三章 梁 | 28 |
| §3-1 型鋼梁的計算 | 28 |
| §3-2 焊接梁的構造與計算 | 31 |
| 第四章 柱 | 54 |
| §4-1 柱的型式 | 54 |
| §4-2 實體柱的截面選擇 | 57 |
| §4-3 格子柱的截面選擇 | 61 |
| §4-4 柱腳 | 71 |
| 第五章 桁架 | 79 |
| §5-1 桁架的計算 | 79 |
| §5-2 桁架受壓杆件的計算長度 | 80 |
| §5-3 桁架杆件的極限細長度 | 81 |
| §5-4 桁架杆件的截面型式 | 82 |
| §5-5 桁架杆件的截面選擇 | 84 |
| §5-6 桁架的節點構造 | 89 |
| 第六章 平面鋼閘門 | 97 |
| §6-1 平面鋼閘門的構造 | 97 |
| §6-2 面板與梁格的布置 | 100 |
| §6-3 次梁的設計 | 108 |
| §6-4 主梁的設計 | 110 |
| §6-5 橫向聯結系 | 112 |
| §6-6 縱向聯結系(起重桁架) | 116 |
| §6-7 支承端柱 | 117 |
| §6-8 支承——移動部分 | 119 |
| 附錄 I | 123 |
| 附錄 II | 126 |
| 附錄 III | 128 |

第一章 鋼結構按極限狀態的計算原理

§1-1 計算按極限狀態的基本概念

所謂極限狀態是指建築物必須停止使用的一種狀態。結構物工作時有下列三種極限狀態：

第一種極限狀態——承載能力(材料的強度、穩定性及疲勞強度)的極限狀態。達此極限狀態時，結構即喪失了抵抗外力的能力或產生極大的剩餘變形，以致不能再繼續使用。

第二種極限狀態——變形的極限狀態，即在標準靜力或動力荷重作用下變形的極限狀態。達此狀態時，結構物保持著一定的強度和穩定性，但出現了使結構不能再繼續使用的變形或振動。

第三種極限狀態——在標準靜力或動力荷重作用下，結構物裂縫出現或擴展的極限狀態。

鋼結構的計算可以不考慮第三種極限狀態，因為在制作情況正常的鋼結構中很少有裂縫出現，而在裂縫出現的那些場合(如焊接)也應該靠施工方面的措施(規定一定的焊接程序等等)來預防裂縫出現，而可以不靠計算方法來預防。

結構物的主要極限狀態是第一種極限狀態。因為在一切情況下建築物耗盡了承載能力，它就不能再繼續使用，故設計時必須按第一種極限狀態進行驗算。可是當根據外力作用的性質或結構物的形狀，知道能出現過量的變形或振動以致妨礙建築物的正常使用時，應該按第二種極限狀態進行驗算。

§1-2 荷重的種類及超荷系數

主要荷重：自重、有效荷重(固定設備)、雪重。

附加荷重：風荷載、安裝荷載。

特殊荷重：地震。

标准荷重：建筑物在正常使用下的最大荷重值，其值見附录 I 表 1。

超荷系数：超荷系数仅說明荷重的变动性，所以最大的可能荷重与标准荷重之比为超荷系数 m ，其值見附录 I 表 1。超荷系数与荷重的性质有关。每一种荷重都有其超荷系数，自重亦同样有超荷系数。建筑材料的单位体积的重量实际并非一样的，但是自重的变动性比其他荷重要小，故超荷系数也随之变小。

計算荷重：計算荷重就是結構物在存在期間可能发生的最大的荷重，所以計算荷重等于标准荷重乘超荷系数。

§1-3 荷重的組合及組合系数

主要組合：結構物工作时經常作用着荷重，抵抗这些荷重是結構物的目的。作用在結構物上的荷重包括自重、有效荷重、雪荷重等。

附加組合：主要荷重加附加荷重。

特殊組合：主要荷重加附加荷重再加特殊荷重。

同时出現几种最大荷重的可能性显然要比只出現一种的可能性要小很多倍，組合越复杂其最大值出現的可能性就越小。为了使建築物坚固（因为荷重出現的可能性越小，则用这些荷重計算的建築物就越不易破坏），在計算中考慮附加組合或特殊組合荷重时，計算荷重数值除自重外，均应乘以荷重組和的降低系数 C 值。 C 值为 0.9，計算特殊組合 C 值为 0.8。

計算公式：

第一种极限状态的計算要求为：

$$N \leq \Phi \quad (1-1)$$

式中 N ——結構物构件中的計算內力（是作用在建築物上的荷重函数，即在建築物使用期間可能发生的最大內力），其值可按前面分析的荷載組和情况求得；

Φ ——結構物构件中所能承受的极限內力。其值可根据构

件的尺寸、材料的抗力、构件的工作条件等来决定：

$$\Phi = m \sigma F \quad (1-2)$$

式中 m ——工作条件系数，见附录 I 表 2；

σ ——材料的极限抗力；

F ——构件的几何因素(面积、截面矩)。

工作条件系数表示某构件或建筑物与其他构件或建筑物相比較的工作条件特性(如受压的和受拉的,受振动荷重的和受静荷重的),建筑物的使用特点和其他情况。

采用 σ_T^H 作为钢材的极限抗力,因为结构在屈伏点以外工作是不容許的。在計算时采用可能的最小屈伏点,称为計算抗力(强度),以 R 表示(見表 1-2)。

$$R = K \cdot \sigma_T^H \quad (1-3)$$

式中 σ_T^H (或 R^H)——是标准屈伏点(标准强度),以一定的試件进行試驗求得(見表 1-1);

K ——匀質系数,表示材料的規格性和均匀性,为最小流限(屈伏点)与标准流限之比。 K 值取决于钢材的标号(見表 1-1)。

故

$$\Phi = m R F$$

$$N \leq \Phi = m R F \quad (1-4)$$

第二种极限状态仅在结构有承载能力并处在使用情况下才有計算的价值。

計算要求是：在正常荷重(使用荷重)作用下的最大变形 Δ 小于或等于结构在正常使用状态下的极限变形 Δ_{np} 。

§1-4 按极限状态計算方法与按允許应力計算方法的比較

$$N \leq \Phi$$

$$\Sigma N_i^H n_i \leq F K \sigma_T^H m = F R m$$

式中 N_i^H ——由标准荷重产生的內力。

上式两边同时除以几何因素 F ,得出:

$$\frac{\sum \sigma_i^H n_i}{F} \leq Rm \quad (1-5)$$

从 $\sum \sigma_i^H n_i$ 項中分出由于任意占优势的荷重 (如最大的有效荷重), 得出:

$$\sigma_1^H n_1 \leq K \sigma_T^H m \quad (1-6)$$

不难看出系数 $\frac{n_1}{Km}$ 不但对于不同结构和不同杆件有着不同的数值, 就是对于不同荷重也有所不同。

因此, 按极限状态的计算方法没有总的安全系数, 而是用三个系数来代替, 即 m 、 n 和 K 。在三者不同的组和下可得出不同的安全系数。

若所有的荷重都给予相同的超荷系数 n , 则(1-5)式可写为:

$$n \sum \sigma_i^H \leq K \sigma_T^H m$$

计算应力

$$\sigma_{\text{per cent}} = \sum \sigma_i^H \frac{Km}{n} = \frac{\sigma_T^H}{\frac{n}{Km}} = \frac{\sigma_T^H}{\xi} = [\sigma] \quad (1-7)$$

式中 ξ —— 为安全系数;

$[\sigma]$ —— 容许应力。

因此, 按容许应力的计算方法是按极限状态计算方法中所有的超荷系数相等的一个特例, 只是在按极限状态计算时, 荷重才须乘以超荷系数, 而按容许应力计算时不需乘以超荷系数。在按极限状态计算时, 极限应力采取计算抗力的数值(计算强度), 而按容许应力计算时采取容许应力的数值, 所以按容许应力计算方法是比较粗糙的, 不尽符合结构物的真实情况。

表 1-1 轨道钢的匀质系数(K)和标准强度 R_H
(单位: 公斤/平方公分)

| 项 次 | 标 准 指 标 | 符 号 | 钢 号 | | | | | |
|--------|------------------|--------------|--------|------|------------|------|------|------|
| | | | CT0 | CT2 | CT3 CT4 | CT5 | НЛ1 | НЛ2 |
| | | | а | б | в | г | д | е |
| 1 | 抗拉强度、抗压强度、抗剪强度 | R^H | 1900 | 2200 | 2400 | 2800 | 3000 | 3400 |
| 2 | 抗剪强度 | R_{CP}^H | 1150 | 1300 | 1450 | 1650 | 1800 | 2050 |
| 3 | 端面承压强度 | $R_{OM.T}^H$ | 2850 | 3300 | 3600 | 4200 | 4500 | 5100 |
| 4 | 局部紧接承压强度 | $R_{OM.M}^H$ | 1450 | 1650 | 1800 | 2200 | 2250 | 2550 |
| 5 | 滚轴自由接触时的径向抗压强度 | $R_{O.K}^H$ | 70 | 80 | 90 | 105 | 110 | 125 |
| 6 | 匀质系数 | K | 0.9 | 0.9 | 0.9 | 0.85 | 0.85 | 0.85 |

表 1-2 轨道钢(厚度从4~40公厘)的计算强度 R
(单位: 公斤/平方公分)

| 项 次 | 应 力 状 态 的 种 类 | 符 号 | 轨 道 钢 的 钢 号 | | | | | |
|--------|---------------------------------|------------|-------------|-------|------------|-------|-------|-------|
| | | | CT0 | CT2 | CT3 CT4 | CT5 | НЛ1 | НЛ2 |
| | | | а | б | в | г | д | е |
| 1 | 拉力、压力和挠曲力 | R | 1,700 | 2,000 | 2,100 | 2,400 | 2,500 | 2,900 |
| 2 | 剪力 | R_{CP} | 1,000 | 1,200 | 1,300 | 1,400 | 1,500 | 1,700 |
| 3 | 端面承压力 | $R_{OM.T}$ | 2,500 | 3,000 | 3,200 | 3,600 | 3,800 | 4,300 |
| 4 | 局部紧接承压力 | $R_{OM.M}$ | 1,300 | 1,500 | 1,600 | 1,800 | 1,900 | 2,200 |
| 5 | 滚轴自由接触时的径向压力 | $R_{O.K}$ | 60 | 70 | 80 | 90 | 95 | 110 |

第二章 钢结构的连接方法

钢结构建筑物是由梁、柱、桁架等单个构件及薄板通过焊缝、铆钉、螺栓彼此连接成的总体。钢结构连接方法的改进也是随着生产力的发展而出现的。在冶炼工业未发展时，只有铸铁结构，所以当时相应的连接方法只是螺栓连接。后来随着黑色金属

事业的发展，可以炼制炭素钢、低合金钢。建筑上新型结构（薄壳结构、大跨度结构）的出现，旧的连接方法就不能适应生产发展的要求，从而又有了铆接、焊接的连接方法。就其性质来说，焊接是将被焊金属局部加热使其成为液体或胶体状态的分子的结合。

§2-1 焊 接

一、焊接的连接型式

(一) 对接连接 连接位于同一平面内的构件。

1. 对接焊缝的连接是焊接连接的基本型式(图 2-1)。

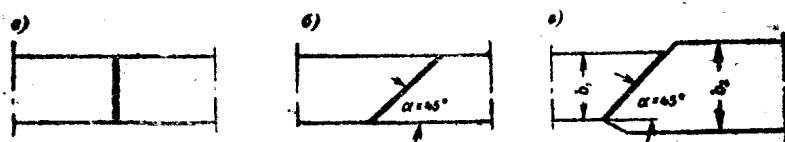


图 2-1 对接焊缝的连接

连接的破坏可能是沿焊缝发生，也可能是沿基本金属发生。因为熔融金属的强度实际上不低于基本金属的强度。

斜焊缝对接连接的破坏发生在基本金属内或部分在基本金属内或在焊缝内(图 2-2)。破坏通常从焊缝角上开始，因为在角上可能未熔透或过烧。当斜焊缝与内力作用方向所夹的角度 $\alpha=45^\circ$ 时，焊缝强度与基本金属强度相等，故可不必计算。

2. 用盖板的连接：用盖板的连接在制造上比对接焊缝的连接较为简单。因为板边不需要加工，也不需要严格地保持被接钢板之间的间距(图 2-2, a)。但是用盖板的连接比用对接焊缝的连接受力情况较差，所以只有在小型工厂中当由于生产或构造条件不可能时，才采用盖板连接。当内力从构件传到盖板上时，内力由狭窄的贴角焊缝承受，因此产生很大的局部超额应力。用盖板连接需要耗大量的焊条及作为盖板用的附加金属，所以并不是有代表性的焊接连接。

盖板用贴角焊缝固定时，垂直于内力方向的焊缝叫做领(端)

焊縫(图2-2,a),而順着力方向布置的焊縫叫做側焊縫(图2-2,b),額、側焊縫綜合在一起叫作周邊焊縫(图2-2,c)。

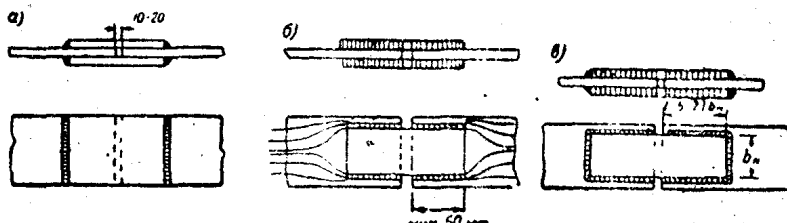


图 2-2 用蓋板的連接

(二)搭接連接 連接位于不在同一平面內的构件。搭接連接比接焊縫的連接方法簡單，因为不需要加工板邊及在焊接過程中沿焊縫長度不需要极准确地保持間隙的距离。但在受振动荷重的情况下，搭接連接質量較差，且需要消耗用于搭接的額外材料。搭接連接可用額焊縫也可用側焊縫做成。

当用額焊縫連接时，必須爭取做到双面焊接(图2-3,a)。为了减少收縮应力起見，重迭长度应不小于 5δ 。此处 δ 是被焊构件中最薄构件的厚度。

单面焊接的連接强度很低，因为固定的偏心影响很大(图2-3,b)，故不采用。

当用側焊縫固定不对称构件时(如角鋼)，焊縫的面积分配應該使焊縫的重心与构件的断面重心相重合(图2-4)。

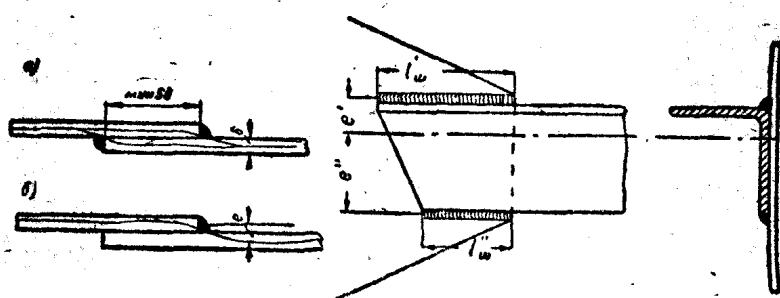


图 2-3 用貼角焊縫的搭接連接

图 2-4 角鋼的固定

从上述情况可知连接焊缝的型式只属对接焊缝和贴角焊缝，为此我们只需研究这两种型式的焊缝在多种受力情况下的强度计算。

二、焊接的强度计算

(一) 对接焊缝

1. 轴向力作用下对接焊缝的计算

(1) 直焊缝 轴向力作用下直焊缝应力的作用方向，按下列受拉或受压公式计算：

$$N \leq m \cdot R_p^{c,s} \cdot l_u \cdot \delta \quad (2-1)$$

$$N \leq m \cdot R_c^{c,s} \cdot l_u \cdot \delta \quad (2-2)$$

式中 N ——作用在连接缝上的计算轴力；

m ——工作条件系数；

δ ——被连接构件的最小厚度；

l_u ——焊缝的计算长度，即设计长度减去10公厘；

$R_p^{c,s}$ ——对接焊缝的受拉计算强度(见表2-1)；

$R_c^{c,s}$ ——对接焊缝的受压计算强度(见表2-1)。

(2) 斜焊缝 将 N 力沿其作用线移到焊缝上，并将 N 力分解为两个方向的分力：一个垂直于焊缝 $N \cdot \sin \alpha$ (使焊缝受拉或受压)，一个平行于焊缝 $N \cdot \cos \alpha$ ，使焊缝受剪，计算公式为：

$$\text{受拉 } N \leq m R_p^{c,s} l_u \cdot \frac{\delta}{\sin \alpha} \quad (2-3)$$

$$\text{受压 } N \leq m R_c^{c,s} l_u \cdot \frac{\delta}{\sin \alpha} \quad (2-4)$$

$$\text{受剪 } N \leq m R_{cp}^{c,s} l_u \cdot \frac{\delta}{\cos \alpha} \quad (2-5)$$

式中 $R_{cp}^{c,s}$ ——对接焊缝受剪的计算强度(见表2-1)；

α ——斜焊缝和构件轴线的倾角；

l_u ——斜焊缝的计算长度。

例2-1 计算断面为 600×14 公厘的钢板采用对接连接的型式，计算拉内力 $N=100$ 吨，钢板材料标号(T 3，焊条标号θ42， $m=1$)。

表 2-1 焊缝的计算强度 R_c^e (公斤/平方公分)

| 项 次 类 别 | 焊接 缝 的 分 类 | 应力状态的种类 | 符 号 | 934型焊 条用于下 列钢号制 作的结构 中 | 942型 焊条或助 熔剂下的自 动焊接用于 下列钢 号制作的结 构中 | 942型和942A 型焊条或助熔 剂下的自动焊 接用于下列钢 号制作的结构 中 | 950型和955 型焊条或助熔 剂下的自动焊 接用于下列钢 号制作的结构 中 |
|------------------|---------------------------------------|--|------------|------------------------------------|--|--|---|
| | | | | 时 | 时 | 时 | 时 |
| | | | | CT0 | CT2 | CT3及 CT4 | HJ1 |
| 1 | 对齐缝 | 压力 | R_c^e | 1,300 | 1,700 | 2,000 | 2,500 |
| 2 | 对齐缝 | 拉力 (当在助熔 剂下用自动焊接以 及手工焊接和半自 动焊接并用精确方 法检查焊缝的质 量时) | R_p^e | — | 1,700 | 2,000 | 2,500 |
| 3 | 对齐缝 | 拉力 (手工焊接 和半自动焊接并用 普通方法检查焊缝 的质量时) | R_p^e | 1,200 | 1,450 | 1,800 | 2,100 |
| 4 | 对齐缝 | 剪力 | R_{cp}^e | 800 | 1,000 | 1,200 | 1,300 |
| 5 | 贴角缝 (端焊 缝、边 焊缝、 丁字的 接) | 压力、拉力、剪力 | R_p^e | 900 | 1,200 | 1,400 | 1,400 |
| | | | | | | | |
| | | | | a | b | c | d |

解:

对接焊缝的连接强度验算:

根据钢材及焊条的标号查表 2-1 得出对接焊缝的受拉计算强度 $R_p^e = 1,800$ 公斤/平方公分,

对接焊缝的极限内力:

$$N_{np} = m R_p^e \cdot l_w \cdot \delta = 1 \times 1,800 (60 - 1) 1.4 = 149,000 > 100,000 \text{ 公斤},$$

当对接连接做成与基本金属等强度时, 连接应按板的极限内力计算。

$$[N] = F_n \cdot R = 60 \times 1.4 \times 2,100 = 176,400 \text{ 公斤}.$$

因为焊缝的受拉计算强度小于基本金属的受拉计算强度, 因而直焊缝与基本金属强度不等, 故采用 $\alpha = 45^\circ$ 的斜焊缝, 焊缝的设计长度为:

$$l = 60 \cdot \frac{1}{\sin \alpha} = 60 \times 1.4 = 840 \text{ 公厘}$$

例2-2 在連接等强度的条件下，把例 2-1 的連接設計成用蓋板的对接連接。

解：

蓋板所需的断面积等于或大于被連接板的断面积：

$$F_n = F_u = 60 \times 1.4 = 84 \text{ 公分}^2,$$

采用两对断面为 280×10 公厘的菱形蓋板，蓋板的总面积为：

$$\Sigma F_u = 4 \times 1 \times 28 = 112 > 84 \text{ 公分}^2$$

設蓋板为 60° 角的菱形，即得接头一侧的焊缝总长度：

$$\Sigma l_u = 4 \times 2 \times 28 = 224 \text{ 公分.}$$

焊缝的需要厚度：

$$h_u = \frac{[N]}{0.7mR_p^{c,s} \Sigma l_u} = \frac{176400}{0.7 \times 1 \times 1400 \times 224} = 0.81 \text{ 公分}$$

采用 $h_u = 0.9$ 公分

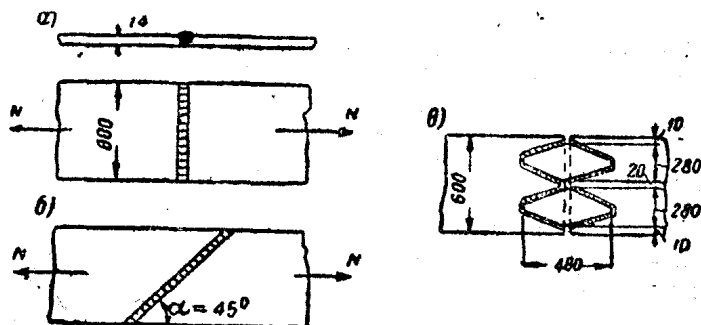


图 2-5

2. 弯矩作用下对接焊缝的計算：

$$M \leq m R_p^{c,s} W_u \quad (2-6)$$

式中焊缝的截面矩量 W_u 按下列公式計算：

$$W_u = \frac{\delta l_u^3}{6}$$

弯曲时部分焊缝受拉，而另一部分受压，計算中应当采用焊缝的受拉計算强度，这是因为手工焊接或半自動焊接时，受拉計算强度比受压計算强度小些（見表2-1）。

3. 軸向力和弯矩同时作用下对接焊缝的計算。

在軸向力和弯矩同时作用的情况下(例如偏心受拉或受压),
軸向力作用所引起的焊缝应力和弯矩作用所引起的焊缝应力相加
时,于是得到下列計算公式:

受拉同时受弯时:

$$\sigma = \frac{N}{F_u} + \frac{M}{W_u} = \frac{N}{\delta l_u} + \frac{6M}{\delta l_u^2} \leq m R_p^{c,s} \quad (2-7)$$

受压同时受弯:

$$\sigma_u = \frac{N}{F_u} + \frac{M}{W_u} = \frac{N}{\delta l_u} - \frac{6M}{\delta l_u^2} \leq m R_p^{c,s} \quad (2-8)$$

式中 N —軸向力;

M —弯矩。

直的和斜的对接焊缝的計算草图見图2-6。

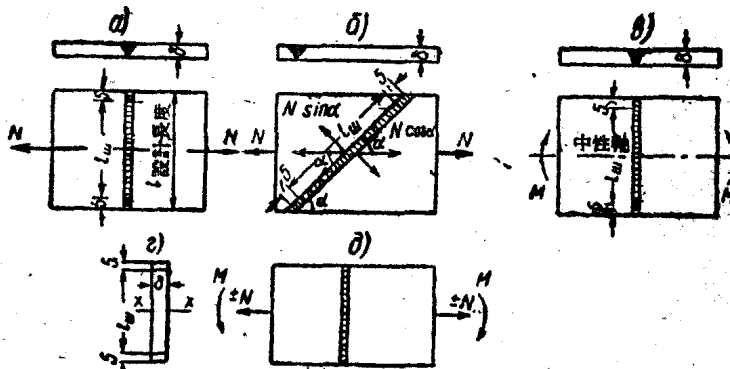


图 2-6 直的和斜的对接焊缝的計算草图

(二) 貼角焊縫

側焊縫和端焊縫的工作不同,側焊縫会因受剪而破坏(見圖
2-7,a)。

端焊縫的計算比較复杂,同时受剪、受拉(或受压)以及承受
由于力在焊縫上偏心作用而引起的弯曲。但是實驗研究証明,端
焊縫和側焊縫一样都是由于受剪而破坏,并且在靜力荷載作用
下,端焊縫的强度稍高于側焊縫。这使得我們有可能只接受剪來
計算側焊縫和端焊縫,而貼角焊縫可能沿最小截面剪断。

手工焊接时贴角焊缝可能是凸出的或是凹进的形状(图2-7, a和b)。凹形焊缝的截面比較緩和，同时引起的应力集中較小，这在焊缝受动力荷重的情形下表現得特別好。端焊缝受动力荷重时，最好采用焊缝两边成1:1.5比例的坦式焊缝(图2-7,d)。

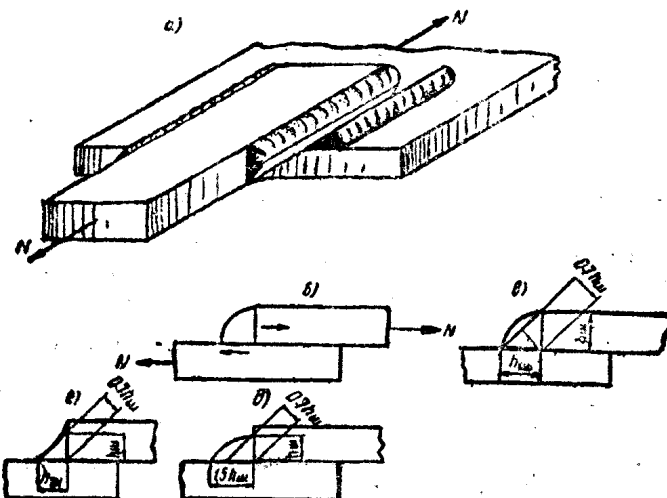


图 2-7 贴角焊缝的截面及其破坏情形

計算手工焊接的貼角焊縫截面時，採用內切于焊縫截面的直角等邊三角形來計算。三角形的直角邊叫作焊縫厚度 h_w ，而三角形的高度是焊縫計算高度，它是直角頂點向斜邊作的垂線，並等於 $h_w \cdot \sin 45^\circ = 0.7h_w$ 。

1. 軸向力作用下貼角焊縫的計算：計算貼角焊縫受軸向力作用時，認為應力是沿整個焊縫面積均勻分布的。貼角焊縫的受力面積

$$F_w = 0.7h_w \cdot l_w$$

式中 h_w ——焊縫的厚度；

l_w ——焊縫的計算長度。軸向力計算公式為：

$$N \leq m0.7h_w \cdot l_w \cdot R_y^{c\circ} \quad (2-9)$$

式中 $R_y^{c\circ}$ ——貼角焊縫的計算強度(見表2-1)。

(2-9)式适用于侧焊缝、端焊缝及周边焊缝的情况下。

2. 受弯连接处贴角焊缝的计算：受弯时贴角焊缝的弯矩计算公式为：

$$M \leq m R_y^{c,s} \cdot W_u \quad (2-10)$$

式中 M ——作用在焊缝上的弯矩；

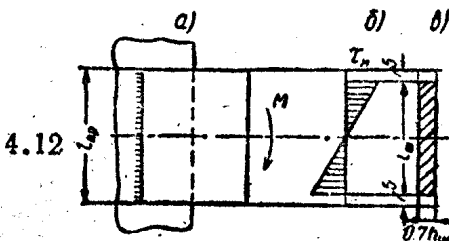


图 2-8 构件受弯时贴角焊缝的工作

W_u ——焊缝纵向截面的截面矩量(图2-8)。这时焊缝的受力高度是焊缝截面的宽度，等于 $0.7h_w$ 。而焊缝的受力长度是焊缝截面高度，等于 $l_w = l_{np} - 10$ 公厘，焊缝截面矩量按照求矩形截面的截面矩量公式计算：

$$W_u = \frac{0.7h_w l_w^2}{6} \quad (2-11)$$

3. 受弯同时受轴向力作用的贴角焊缝的计算：贴角焊缝承受弯矩和轴向力的作用时(图2-9,a)，轴向力所引起的应力 τ_N 和弯矩引起的应力 τ_M ，都垂直于焊缝，相加时应当考虑它们的符号。焊缝的最大应力等于轴向力和弯矩所引起的应力的总和，这时的计算公式为

$$\tau_{max} = \frac{N}{F_u} + \frac{M}{W_u} = \frac{N}{0.7h_w l_w} + \frac{6M}{0.7h_w l_w^2} \leq m R_y^{c,s} \quad (2-12)$$

4. 受弯同时受剪的贴角焊缝的计算：贴角焊缝受弯同时受剪时，例如作用力平行于焊缝，但作用点与焊缝有一距离 c 。(图

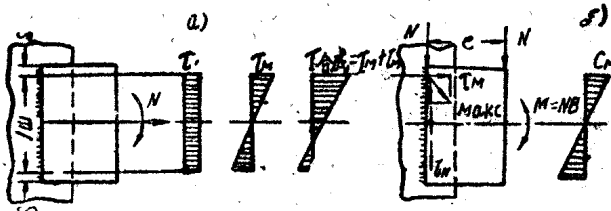


图 2-9 构件受弯、受拉、受弯或受剪时贴角焊缝的工作

2-9,6), 則由作用力和弯矩在焊缝中所引起的应力量互相垂直。由剪力作用引起的应力顺着焊缝的方向, 而由弯矩作用引起的应力垂直于焊缝。在这种情况下, 焊缝中最大的合成剪应力应当由几何相加求得, 那就是由如 τ_N 和 τ_M 的矩形对角线, 其计算公式为:

$$\tau_{max} = \sqrt{\tau_N^2 + \tau_M^2} = \sqrt{\left(\frac{N}{0.7h_{ul}l_{uu}}\right)^2 + \left(\frac{6M}{0.7h_{ul}l_{uu}^2}\right)^2} \leq mR_y^c \quad (2-13)$$

5. 不对称的贴角焊缝的计算: 当贴角焊缝固定不对称构件时, 焊缝面积的分配应该使焊缝受力的重心与构件断面的重心相重合(图2-4)。

两条焊缝所需要的总面积等于:

$$F_u = \frac{N}{m \cdot R_y^c} \quad (2-14)$$

分配给肢和背的焊缝面积相应的按下列公式计算:

分配角钢背的焊缝面积为

$$F'_u = \frac{F_u \cdot e''}{e' + e''} \quad (2-15)$$

分配角钢肢的焊缝面积为

$$F''_u = \frac{F_u e'}{e' + e''} \quad (2-16)$$

随后按照连接条件所可能有的焊缝长度或按照生产上的理由来选定焊缝的长度和厚度。

为了计算方便, 令 $\frac{e''}{e' + e''} = K_2$, $\frac{e'}{e' + e''} = K_1$, 各种角钢的 K_1 、 K_2 值见表 2-2。

表 2-2 多种角钢的 K_1 和 K_2 值

| 所连构件 | K_1 | K_2 |
|-----------|-------|-------|
| 等肢角钢 | 0.3 | 0.7 |
| 不等肢角钢短肢相连 | 0.25 | 0.75 |
| 不等肢角钢长肢相连 | 0.35 | 0.65 |